

doi: 10.3969/j.issn.0490-6756.2018.05.017

V掺杂ZnSe团簇稳定性和磁性质

谢建明, 陈红霞, 刘卫卫

(盐城师范学院新能源与电子工程学院, 盐城 224000)

摘要:采用第一性原理方法系统研究了V原子掺杂ZnSe团簇的稳定性和磁性质。考虑了替代掺杂, 外掺杂和内掺杂。研究表明, 不管是单掺杂还是双掺杂, 外掺杂团簇都是最稳定结构。V原子间的磁性耦合是短程相互作用。最重要的是, 单掺杂团簇的总磁矩和掺杂位置有关, 在可调磁矩的磁性材料领域有潜在应用价值。

关键词:团簇; 掺杂; 稳定性; 磁性质

中图分类号: O469

文献标识码: A

文章编号: 0490-6756(2018)05-1013-06

Stability and magnetic properties of V-doped ZnSe clusters

XIE Jian-Ming, CHEN Hong-Xia, LIU Wei-Wei

(College of New Energy and Electronic Engineering, Yancheng Teachers University, Yancheng 224000, China)

Abstract: The stabilities and magnetic properties of ZnSe clusters doped with one and two V atoms have been studied in term of a first-principles method. Substitutional, exohedral, and endohedral doping modes are considered. The exohedral isomers are found to be most favorable for both monodoped and bi-doped clusters. Most importantly, the total magnetic moments of monodoped clusters are related to doping position, which have potential utility in new material with tunable magnetic properties.

Keywords: Cluster; Doping; Stability; Magnetic property

1 引言

ZnSe 属于面心立方闪锌矿结构, 室温下直接带隙宽度为 2.67 eV^[1]。在发光二极管、光探测器、蓝光发射激光器、生物标记、传感器、太阳能电池、光催化、环保等许多领域有着重要的用途^[2]。对 ZnSe 的研究主要集中在体材料方面, 关于团簇的研究工作相对较少。Matxain 等人研究了 $(\text{ZnSe})_n$ ($n=1\sim 9$) 团簇的结构和稳定性, 发现当 $n < 6$ 时, 二维平面结构相对稳定; 当 $n \geq 6$ 时, 三维空心笼状结构更稳定^[3]。由于掺杂可以使基体材料产生特定的磁、电、光等性能, 因而得到了广泛的应用^[4-10]。对其他 II-VI 族团簇的研究表明, 具有 T_h

对称性的空心笼状团簇是最稳定的幻数团簇, 可以作为基体来研究掺杂对团簇结构和性能的影响^[11-13]。课题组前期已经研究了纯 $(\text{ZnSe})_{12}$ 团簇的结构和性质。它的最高占据态(HOMO)-最低未占据态(LUMO)能隙是 3.16 eV, 显示了它的半导体特性; 自旋极化计算表明纯 $(\text{ZnSe})_{12}$ 团簇没有磁性^[14]。

课题组研究了 V 原子掺杂 $(\text{ZnS})_{12}$ 和 $(\text{ZnO})_{12}$ 结构和磁性质, 发现 V 原子间的磁性耦合是短程相互作用^[15,16]。据我们所知, 目前还没有 V 掺杂 ZnSe 团簇磁性质的相关研究工作, 为此, 本文采用第一性原理方法系统的研究了 V 原子单掺杂和双掺杂 $(\text{ZnSe})_{12}$ 团簇的稳定性及磁性质, 为 ZnSe

掺杂团簇的实际应用提供理论基础.

2 计算方法

计算采用了自旋极化的第一性原理密度泛函理论^[17,18]. 选择了全电子和 DND 基矢. 交换关联势选择了 GGA/PBE^[19]. Mulliken 布局分析被用来分析原子磁矩^[20]. 自洽场计算时, 总能量的收敛标准为 10^{-6} Ha, 力的收敛标准 0.002 Ha/Å, 位置移动收敛标准为 0.005 Å.

交换关联势和电子基矢的准确性在前面关于 ZnS、ZnO 和 ZnTe 团簇及 ZnS 纳米线掺杂磁性质研究工作中已经得到检验^[6,14-16]. 因此, 相信本文的计算方案对描述 V 原子掺杂 ZnSe 团簇是可信的.

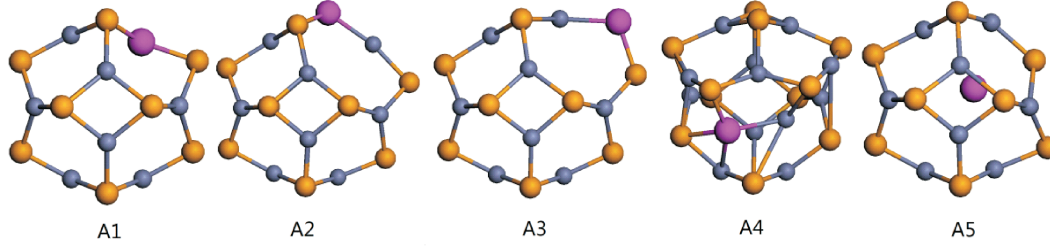


图 1 单掺杂团簇结构图. 大球代表 V 原子, 中等球代表 Se 原子, 小球代表 Zn 原子

Fig. 1 The optimized structures of monodoped $(\text{ZnSe})_{12}$ clusters. Big ball, V atom; middle ball, Se atom; small ball, Zn atom

3.1.2 能量稳定性 为了比较三种不同种类掺杂团簇的相对稳定性, 引入了形成能的概念. 定义为: $E_f = E_n/n - E_{\text{Zn}} - E_{\text{Se}}$, 其中, E_n 是团簇总能量, n 是 Zn、Se 原子数量. E_{Zn} 和 E_{Se} 是孤立 Zn、Se

共考虑了三种掺杂方式. 首先是替代掺杂, 即用 V 原子替代团簇中的 Zn 原子. 其次是外掺杂, 即在团簇表面掺杂 V 原子. 最后是内掺杂, 即在团簇内部掺杂 V 原子.

3 结果和讨论

3.1 单掺杂团簇

3.1.1 几何结构 图 1 画出了优化后的结构图. A1 是替代掺杂团簇, A2、A3、A4 是外掺杂团簇. A5 是内掺杂团簇. 由于掺杂进 V 原子, 纯团簇的某些键发生了断裂, 各原子间重新成键. 由于 V 原子和 Zn 原子的半径差异很小, 所以 A1 团簇和纯团簇结构很类似. 这与 V 掺杂 $(\text{ZnO})_{12}$ 和 $(\text{ZnS})_{12}$ 团簇的研究工作结果类似^[15,16].

原子能量. 在结构优化的基础上, 我们计算了掺杂团簇的形成能和 HOMO-LUMO 能隙. 所有结果列在表 1 中.

表 1 单掺杂团簇的形成能 E_f (eV/atom), HOMO-LUMO 能隙 Gap (eV), 分裂能 ΔE_1 、 ΔE_2 (eV), 团簇的总磁矩 μ_{tot} (μ_B), V 原子磁矩 μ (μ_B) 以及相邻 Zn 原子和 Se 原子的磁矩 μ_1 、 μ_2 (μ_B)

Tab. 1 The formation energies (E_f , in eV/atom), HOMO-LUMO gaps (Gap, in eV), and fragmentation energies (ΔE_1 and ΔE_2 , in eV) of various monodoped $(\text{ZnSe})_{12}$ clusters. The total magnetic moment (μ_{tot} , in μ_B), magnetic moments (μ , in μ_B) of V atom and the bonding Zn, Se atoms (μ_1 and μ_2 , in μ_B) in these clusters are also shown

E_f	Gap	ΔE_1	ΔE_2	μ_1	μ_2	μ				μ_{tot}
						4s	4p	3d	total	
A1	-2.597	0.88	2.79	0.00	/	-0.20	0.182	0.086	2.811	3.08
A2	-2.593	1.40	2.68	-0.11	-0.09	-0.12	0.137	0.062	2.982	3.18
A3	-2.550	0.61	1.65	-1.15	-0.15	-0.09	0.164	0.031	3.047	3.24
A4	-2.605	1.05	2.98	0.19	0.02	-0.02	0.102	0.091	2.814	3.01
A5	-2.566	0.68	2.03	-0.76	0.29	0.33	0.524	0.119	3.739	4.38

首先研究了团簇的能隙, 由于掺杂进了 V 原子, 团簇的能隙显著减小了. 其中 A3 团簇的能隙最小, 只有 0.61 eV. 接着比较了团簇的稳定性. A2 到 A5 团簇具有相同的化学组分, A4 的形成能最低, 表明 A4 最稳定, 即外掺杂比内掺杂团簇

更稳定. 为了比较不同化学组分团簇的稳定性, 引入了分裂能的概念. 对于一个分裂过程 $A \rightarrow B + C$, 分裂能定义为 B 和 C 的总能量减去 A 的总能量. 我们使用两种不同方法计算了掺杂团簇的分裂能. 一种是“V 掺杂团簇 $\rightarrow (\text{ZnSe})_{12}$ 团簇 +

个孤立的 V 原子”, 用于比较掺杂对团簇稳定性的影响, 用 ΔE_1 表示。对于替代掺杂, V 掺杂团簇总能量定义为 A1 和一个 Zn 原子能量之和。所有的掺杂团簇的 ΔE_1 都为正, 表明 V 掺杂提高了纯团簇的稳定性。另一种是“V 掺杂团簇 \rightarrow A1+一个孤立的 Zn 原子”, 用于比较不同化学组分团簇的相对稳定性, 用 ΔE_2 表示。计算结果表明, A2、A3 和 A5 结构的分裂能 ΔE_2 都为负, 表明它们都没有替代掺杂团簇 A1 稳定。而 A4 的分裂能 ΔE_2 为正, 表明它比替代掺杂团簇结构 A1 稳定。即当 V 原子掺杂进 $(\text{ZnSe})_{12}$ 团簇后, 它更趋向占据团簇表面位置。而 V 掺杂 $(\text{ZnO})_{12}$ 和 $(\text{ZnS})_{12}$ 团簇时, 更趋向替代团簇中的 Zn 原子^[15,16]。

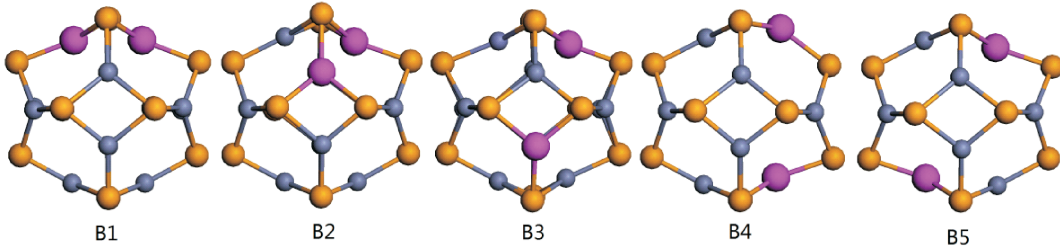


图 2 替代双掺杂团簇结构图

Fig. 2 The optimized structures of substitutional bidoped $(\text{ZnO})_{12}$ clusters

在结构优化的基础上, 对掺杂团簇的物性进行了研究。表 2 列出了全部的计算结果。所有构型铁磁态和反铁磁态具有相同的总磁矩, 分别为 6 μ_B 和 0。总磁矩主要来源于 V-3d 态的贡献。当 V 原子间距较大时, 如 B3-B5 团簇, 铁磁态和反铁磁态具有相同的形成能, 表明 V 原子之间的磁性耦合是短程相互作用。这与 V 掺杂 $(\text{ZnO})_{12}$ 和

3.1.3 磁性质 比较稳定性之后, 对单掺杂团簇的磁性也进行了计算, 结果也列在表 1 中。研究发现, 团簇磁矩主要来自于 V-3d 态的贡献, 4s 和 4p 态也贡献了少量磁矩。由于轨道杂化, 相邻的 Se 和 Zn 原子也产生少量自旋。除了 A5 总磁矩是 5 μ_B , 其它团簇的总磁矩都为 3 μ_B 。V 原子掺杂团簇的总磁矩与掺杂位置有关, 说明 V 掺杂 ZnSe 团簇在可调磁矩的磁性材料领域有潜在应用价值。

3.2 双掺杂团簇

3.2.1 替代双掺杂 根据掺杂位置的不同, 我们构造了五种团簇, 记为 B1~B5。图 2 画出了优化后的结构图。发现所有替代掺杂团簇结构都与纯 $(\text{ZnSe})_{12}$ 团簇结构类似。

$(\text{ZnS})_{12}$ 团簇的研究工作结果相同^[15,16]。铁磁态和反铁磁态还具有相同的结构和局域磁矩。唯一的差别是铁磁态的能隙要稍微小一点。对于 B1 和 B2 团簇, 反铁磁态的形成能分别低 0.005 和 0.006 eV/atom。这表明直接的 V-V 反铁磁相互作用占主导地位。B2 构型的反铁磁态形成能最低, 说明 B2 是替代双掺杂团簇中最稳定的结构。

表 2 替代双掺杂团簇中, V 原子间距 d (\AA), 形成能 E_f (eV/atom), HOMO-LUMO 能隙 Gap (eV), 总磁矩 μ_{tot} (μ_B), V 原子及相邻 Se 原子的磁矩 μ_1, μ_2 (μ_B)。

Tab. 2 The distances of two V atoms (d , in \AA), formation energies (E_f , in eV/atom), HOMO-LUMO gaps (Gap, in eV), and total magnetic moments (μ_{tot} , in μ_B) of substitutional bidoped $(\text{ZnSe})_{12}$ clusters. The magnetic moments (μ , in μ_B) of V atom and the bonding Se atoms (μ_2 , in μ_B) in these clusters are also shown.

	铁磁态						反铁磁态					
	d	E_f	Gap	μ_2	μ	μ_{tot}	d	E_f	Gap	μ_2	μ	μ_{tot}
B1	2.80	-2.710	0.80	-0.39	3.12	6	2.67	-2.715	1.04	0	2.58	0
B2	2.99	-2.709	0.50	-0.35	3.08	6	2.72	-2.716	0.65	0	2.16	0
B3	5.35	-2.703	0.70	-0.19	3.08	6	5.66	-2.703	0.86	-0.22	3.08	0
B4	6.08	-2.703	0.83	-0.37	3.08	6	6.08	-2.703	0.88	0.03	3.08	0
B5	6.11	-2.703	0.76	-0.40	3.08	6	6.11	-2.703	0.88	0	3.08	0

3.2.2 外双掺杂 根据掺杂位置的不同, 同样考虑了五种团簇构型, 标记为 C1~C5。图 3 画出了优化后的结构图。由于在表面掺杂了 2 个 V 原子,

优化后的团簇结构有较大变形, 原来的六原子环断裂, 出现多个七原子环。特别是 C2 和 C3 团簇, 空心笼表面出现了坍塌。

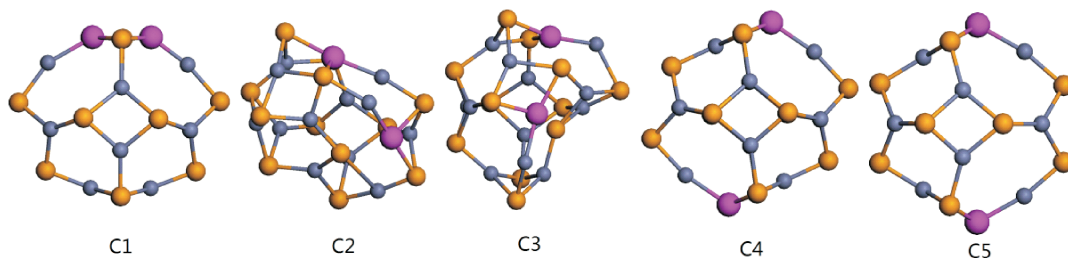


图 3 外双掺杂团簇结构图

Fig. 3 The optimized structures of exohedral bidoped $(\text{ZnSe})_{12}$ clusters

在结构优化的基础上, 同样对掺杂团簇的物性进行了研究。表 3 列出了全部计算结果。所有构型铁磁态和反铁磁态具有相同的总磁矩, 分别为和 $6 \mu_B$ 和 0 。总磁矩主要来源于 $\text{V}-3d$ 态的贡献,

和替代双掺杂的结果相同。当 V 原子间距较大时, 铁磁态和反铁磁态具有相同的形成能, 表明 V 原子之间的磁性耦合是短程相互作用。这与 V 掺杂 $(\text{ZnO})_{12}$ 和 $(\text{ZnS})_{12}$ 团簇的研究工作结果相同^[15,16]。

表 3 外双掺杂团簇中, V 原子间距 d (\AA), 形成能 E_f (eV/atom), HOMO-LUMO 能隙 Gap (eV), 总磁矩 μ_{tot} (μ_B), V 原子磁矩 μ (μ_B), 相邻 Zn 、 Se 原子的磁矩 μ_1 、 μ_2 (μ_B)。

Tab. 3 The distances of two V atoms (d , in \AA), formation energies (E_f , in eV/atom), HOMO-LUMO gaps (Gap, in eV), and total magnetic moments (μ_{tot} , in μ_B) of exohedral bidoped $(\text{ZnSe})_{12}$ clusters. The magnetic moments (μ , in μ_B) of V atom and the bonding Zn and Se atoms (μ_1 and μ_2 , in μ_B) in these clusters are also shown.

	铁磁态						反铁磁态							
	d	E_f	Gap	μ_1	μ_2	μ	μ_{tot}	d	E_f	Gap	μ_1	μ_2	μ	μ_{tot}
C1	2.94	-2.473	0.63	-0.15	-0.26	3.18	6	2.58	-2.560	0.77	-0.05	-0.04	2.25	0
C2	4.41	-2.490	0.83	-0.10	-0.31	3.13	6	4.18	-2.491	0.88	0.01	0.01	3.05	0
C3	4.96	-2.515	0.89	-0.15	-0.21	3.11	6	4.92	-2.515	0.90	0.03	-0.03	3.12	0
C4	9.11	-2.481	1.37	-0.18	-0.23	3.18	6	9.11	-2.481	1.37	0.00	0.00	3.18	0
C5	9.22	-2.474	1.37	-0.19	-0.23	3.18	6	9.22	-2.474	1.40	0.00	0.00	3.18	0

对于 C1 和 C2 结构, 反铁磁态形成能分别低 0.087 和 0.001 eV/atom。表明直接的 $\text{V}-\text{V}$ 反铁磁相互作用占主导地位。团簇稳定性次序为 $\text{C}1 > \text{C}3 > \text{C}2 > \text{C}4 > \text{C}5$ 。

3.2.3 内双掺杂 由于空心笼内部有较大空间,

所以也考虑了内双掺杂。图 4 画出了优化后结构图。由于内掺杂了两个 V 原子, 笼状团簇被拉伸了。表 4 列出了全部的计算结果。反铁磁态的形成能低了 0.025 eV/atom, 表明直接的 $\text{V}-\text{V}$ 反铁磁相互作用依然占主导地位。

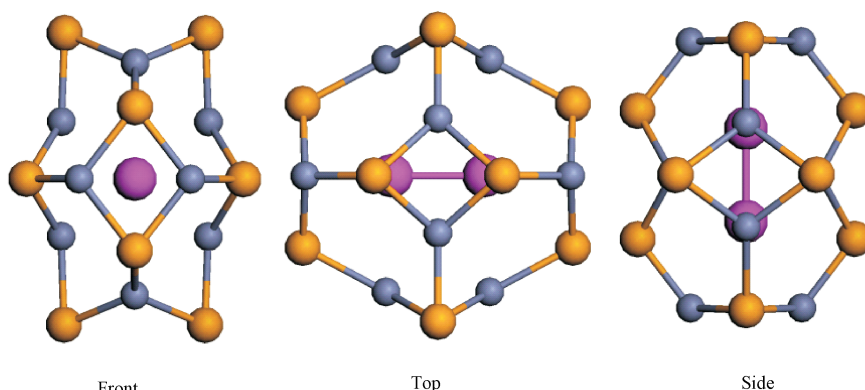


图 4 内双掺杂团簇结构图

Fig. 4 The optimized structure of endohedral bidoped $(\text{ZnSe})_{12}$ cluster

表4 内双掺杂团簇中, V原子间距 d (\AA), 形成能 E_f (eV/atom), HOMO-LUMO能隙Gap(eV), 总磁矩 μ_{tot} (μ_B), V原子磁矩 μ (μ_B), 相邻Zn、Se原子的磁矩 μ_1 、 μ_2 (μ_B)

Tab. 4 The distances of two V atoms (d , in \AA), formation energies (E_f , in eV/atom), HOMO-LUMO gaps (Gap, in eV), and total magnetic moments (μ_{tot} , in μ_B) of endohedral bidoped $(\text{ZnSe})_{12}$ clusters. The magnetic moments (μ , in μ_B) of V atom and the bonding Zn and Se atoms (μ_1 and μ_2 , in μ_B) in these clusters are also shown

	d	E_f	Gap	μ_1	μ_2	μ_{tot}	μ			total
							4s	4p	3d	
铁磁态	2.52	-2.491	0.82	0.06	-0.09	4	0.038	0.058	1.919	2.01
反铁磁态	2.39	-2.516	1.33	0	0	0	0.11	0.096	2.403	2.61

3.2.4 三种双掺杂团簇最稳定结构比较 首先比较了具有相同的化学组分的外双掺杂和内双掺杂团簇, 发现外双掺杂团簇的形成能更低, 表明外掺杂比内掺杂更稳定。其次, 计算了从最稳定的外双掺杂团簇C1到最稳定的替代掺杂团簇B2的分裂能, $C1 \rightarrow B2 + 2\text{Zn}$ 。计算结果为1.38 eV。这表明外双掺杂团簇是双掺杂团簇最稳定结构。

4 结 论

本文采用第一性原理方法系统的研究了V原子掺杂 $(\text{ZnSe})_{12}$ 团簇的结构、稳定性以及磁性质。考虑了三种掺杂方式, 替代掺杂, 外掺杂和内掺杂。比较了各种掺杂团簇的稳定性。不管是单掺杂还是双掺杂, 外掺杂团簇都是最稳定结构。当V原子间距较小时, 所有双掺杂团簇的反铁磁态比铁磁态形成能更低, 表明直接的V-V反铁磁相互作用占主导地位。当V原子间距较大时, 铁磁态和反铁磁态具有相同的形成能, 表明V原子间的磁性耦合是短程相互作用。所有掺杂团簇的能量都显著减小了。单掺杂时, 掺杂团簇的总磁矩和掺杂位置有关, 在可调磁矩的磁性材料领域有潜在应用价值。

参考文献:

- [1] Prete P, Lovergne A, Petroni S, et al. Functional validation of novel Se and S alkyl precursors for the low temperature pyrolytic MOVPE growth of ZnSe, ZnS and ZnSSe [J]. Mater Chem Phys, 2000, 66: 253.
- [2] Hamdi I, Aouissi M. Pressure dependence of vibrational, thermal, and elastic properties of ZnSe: an ab initio study [J]. Phys Rev B, 2006, 73: 174114.
- [3] Matxain J M, Mercero J M, Fowler J E, et al. Small clusters of group-(II-VI) materials: Zn_iX_i , $X=\text{Se}, \text{Te}$, $i=1\sim 9$ [J]. Phys Rev A, 2001, 64: 053201.
- [4] 王青, 张旭东, 魏智强, 等. $\text{Zn}_{1-x}\text{Mn}_x\text{S}$ 纳米颗粒的制备及发光性质[J]. 四川大学学报: 自然科学版, 2016, 53: 152.
- [5] 谢建明, 陈红霞. 钇掺杂硫化锌团簇称定性和磁性质研究[J]. 原子与分子物理学报, 2016, 33: 627.
- [6] 张春红, 张忠政, 闫万珺, 等. 稀土(Ce, Cd)掺杂CdS的第一性原理研究[J]. 原子与分子物理学报, 2017, 34: 756.
- [7] 陈红霞, 刘成林. Co掺杂碲化锌团簇结构和磁性质[J]. 原子与分子物理学报, 2017, 34: 1075.
- [8] Hou R, Li S T, Niu F, et al. Geometries, stabilities and electronic properties of the RuSi_n ($n=1\sim 6$) cluster: a density functional investigation [J]. J At Mol Phys, 2016, 33: 252.
- [9] Bai X, Lv J, Gao H, et al. Electronic structure and magnetic properties of Ge_nMn ($n\leq 8$) clusters: the density functional calculations [J]. J At Mol Phys, 2016, 33: 463.
- [10] Yang Z Q, Bai X H, Zheng W W, et al. Electronic properties of bare and doped $(\text{TiO}_2)_3$ clusters-a density functional theory investigation [J]. J At Mol Phys, 2015, 32: 962.
- [11] Yadav M K, Sanyal B, Mookerjee A. Structural, electronic and magnetic properties of Cr-doped $(\text{ZnTe})_{12}$ clusters [J]. J Magn Magn Mater, 2009, 321: 235.
- [12] Chen H X, Shi D N, Wang B L, et al. An unbiased structural optimization of zinc sulfide clusters $(\text{ZnS})_n$ ($n=2\sim 18$) [J]. J Comput Theor Nanosci, 2011, 8: 2454.
- [13] Matxain J M, Mercero J M, Ugalde J M. Electronic excitation energies of Zn_iO_i clusters [J]. J Am Chem Soc, 2003, 125: 9494.
- [14] Xie J M, Chen H X, Liu W W, et al. Stability and magnetic properties of II-VI group clusters doped with Ni [J]. J At Mol Phys(原子与分子物理学报), 2018, 35: 228.
- [15] Xie J M, Chen H X. Researches on the stability of V-doped ZnS clusters [J]. J At Mol Phys, 2016,

- 33: 627.
- [16] Chen H X, Chao L J, Liu C L. Researches on the structural and magnetic properties of V-doped ZnO clusters [J]. *J At Mol Phys*, 2018, 35: 73.
- [17] Delley B. An all-electron numerical method for solving the local density functional for polyatomic molecules [J]. *J Chem Phys*, 1990, 92: 508.
- [18] Delley B. From molecules to solids with the DMol³ approach [J]. *J Chem Phys*, 2000, 113: 7756.
- [19] Perdew J P, Burke K, Ernzerhof M. Generalized gradient approximation made simple [J]. *Phys Rev Lett*, 1996, 77: 3865.
- [20] Mulliken R S. Electronic population analysis on LCAO-MO molecular wave functions. II. overlap populations, bond orders, and covalent bond energies [J]. *J Chem Phys*, 1955, 23: 1841.

引用本文格式:

中 文: 谢建明, 陈红霞, 刘卫卫. V 掺杂 ZnSe 团簇稳定性和磁性质 [J]. 四川大学学报: 自然科学版, 2018, 55: 1013.

英 文: Xie J M, Chen H X, Liu W W. Stability and magnetic properties of V-doped ZnSe clusters [J]. *J Sichuan Univ: Nat Sci Ed*, 2018, 55: 1013.